

Moteur à courant continu

1. Stator : fixe
2. Rotor : mobile
3. Collecteur : élément d'usure

Production de couple :

- spire parcourue par un courant $i_a(t)$
- Champ d'induction B

Par Laplace :

$$\vec{F} = (\vec{i}_a(t) \wedge \vec{B}) \cdot l$$

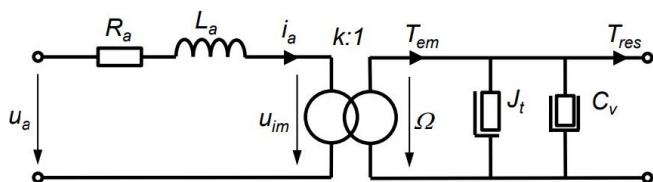
cette force produit un couple faisant tourner le moteur :

$$T_{em}(t) = k_T \cdot i_a(t)$$

cela induit une tension :

$$u_i(t) = \frac{d\Phi(t)}{dt} = k_u \cdot \omega(t)$$

Équations du moteur Dc et de la charge



Équation de tension :

$$u_a(t) = R_a \cdot i_a(t) + L_a \frac{di_a(t)}{dt} + u_{im}(t)$$

$$U_a(t) = U_{im} + R_a \cdot I_a = K_e \Theta + R_a \cdot c \frac{T_{res} k_T}{1}$$

$$I_a(s) = [U_a(s) \cdot U_{im}(s)] \cdot \frac{\frac{1}{R_a}}{1 + s \frac{L_a}{R_a}}$$

Équation de mouvement :

$$J_t \frac{d\Omega(t)}{dt} = T_{em}(t) - C_v \Omega(t) - T_{res}(t)$$

$$\Omega(s) = [T_{em}(s) \cdot T_{res}(s)] \cdot \frac{\frac{1}{C_v}}{1 + s \frac{J_t}{C_v}}$$

avec $T_{res} = \text{Frottement} \cdot \text{vitesse}$

Équation de couplage :

$$k_T = \frac{T_{em}(t)}{i_a(t)} = \frac{u_{im}(t)}{\Omega(t)} = k_u$$

Hypothèses :

1. Linéarité : pas de saturation du fer, résistance Cst
2. Frottements négligeables, généralement < 5% du couple nominal
3. arbre rigide en torsion : ce n'est pas toujours le cas

1 Calcul des fonctions de transfert

on introduit :

$$\tau_e = \frac{L_a}{R_a} \quad \tau_m = \frac{J_t \cdot R_a}{k_T \cdot k_E}$$

Les fonctions de transfert du moteur DC et de la charge, sans frottements visqueux, deviennent :

$$G_{u\omega} = \frac{\Omega(s)}{U_a(s)} = \frac{1}{k_E} \cdot \frac{1}{1 + s \cdot \tau_m + s^2 \cdot \tau_m \cdot \tau_e}$$

$$G_{ui} = \frac{I_a(s)}{U_a(s)} = \frac{J_t}{k_E \cdot k_T} \cdot \frac{1}{1 + s \cdot \tau_m + s^2 \cdot \tau_m \cdot \tau_e}$$

$$s_{1,2} = \frac{-\tau_m \pm \sqrt{\tau_m^2 - 4 \cdot \tau_m \cdot \tau_e}}{2 \cdot \tau_m \cdot \tau_e}$$

Cas particulier : $\tau_m < 4 \cdot \tau_e$

$$\frac{1}{1 + s \cdot \tau_m + s^2 \cdot \tau_m \cdot \tau_e}$$

Cas particulier : $\tau_m \geq 4 \cdot \tau_e$

$$\frac{1}{(1 + s \cdot \tau_{max})(1 + s \cdot \tau_{min})} \quad \text{avec : } \tau_{max,min} = -\frac{1}{s_{1,2}}$$

Cas particulier : $\tau_m \gg \tau_e$

$$\frac{1}{(1 + s \cdot \tau_m)(1 + s \cdot \tau_e)}$$

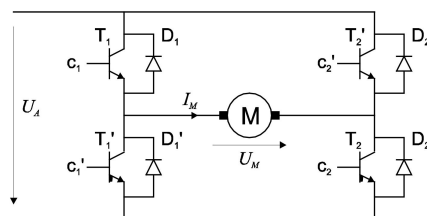
Fonction page 1.22 :

Alimentations des moteurs DC

Méthodes :

1. Analogique : Grande perte à basse vitesse.
2. Alimentation à découpage : pertes variateur constant

Pont en « H » :



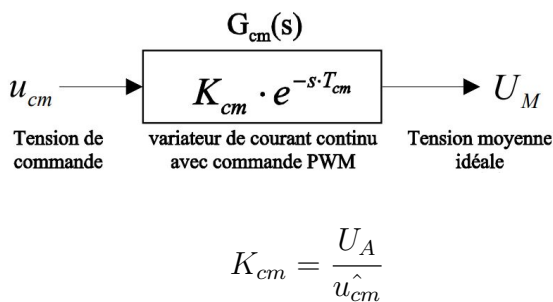
Gestion par pulse width modulation

1. Par régime stationnaire :

$$U_{M \text{ moyen}} = U_A * \left(2 \cdot \frac{t_e}{T_P} - 1 \right)$$

2. Par «sous-oscillation» :

3. Par fonction de transfert : Page 1.30



Approximation du retard pur : Page 1.31

— Si analogique

— u_h triangulaire : $T_{cm} = \frac{T_p}{3}$

— u_h dent de scie : $T_{cm} = \frac{T_p}{2}$

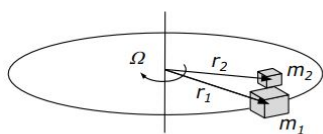
— Si Numérique : $T_{cm} = T_p$

1er ordre :	Padé :
$e^{-s \cdot T_{cm}} \simeq \frac{1}{1 + s \cdot T_{cm}}$	$e^{-s \cdot T_{cm}} \simeq \frac{1 - s \cdot \frac{T_{cm}}{2}}{1 + s \cdot \frac{T_{cm}}{2}}$

Rappel sur le moment d'inertie : Page 1.32

5

Moment d'inertie d'un corps solide J [kg·m²]

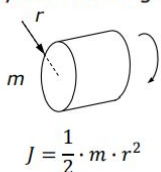


$$J = \sum_i m_i \cdot r_i^2$$

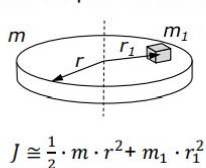
$$T = J \cdot \frac{d\Omega}{dt}$$

$$E_{cin} = \frac{1}{2} \cdot J \cdot \Omega^2$$

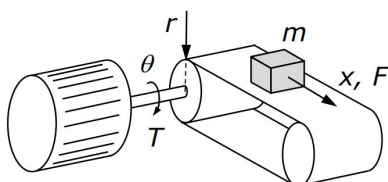
Cylindre homogène :



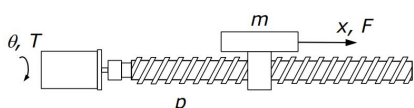
Outil sur un plateau homogène :



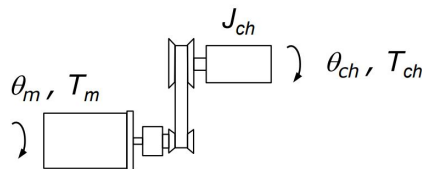
Courroie ou crémaillère : $J_{eq} = m \cdot r^2$



Vis-à-billes : $J_{eq} = m \cdot \left(\frac{p}{2\pi} \right)^2$

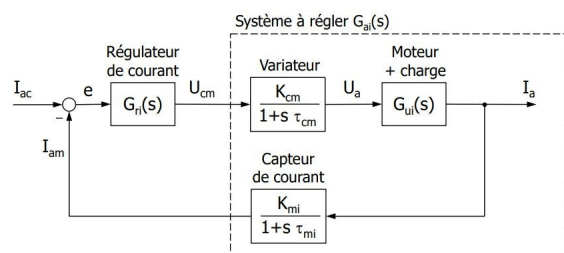
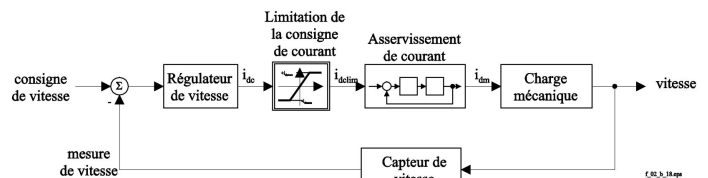


Réducteurs : $J_{eq} = J_{ch} \cdot \frac{1}{i^2}$ avec $i = \frac{\Omega_m}{\Omega_e}$



Réglage du courant / couple : Page 1.54

6



$$G_{ai}(s) = K_{ai} \cdot \frac{s}{1 + s \cdot \tau_m + s^2 \cdot \tau_e \cdot \tau_m} \cdot \frac{1}{1 + s \cdot \tau_{cm}} \cdot \frac{1}{1 + s \cdot \tau_{mi}}$$

$$K_{ai} = \frac{K_{cm} \cdot K_{mi} \cdot J_t}{k_t \cdot k_E} = \frac{\tau_m}{R_a} \cdot K_{cm}$$

Régulateur PI

7

— composante I

- pour compenser le comportement dérivateur à basses fréquences
- pour compenser les couples perturbateur à moyennes fréquences

— composante P

- pour annuler la composante I en hautes fréquences donc, pour ne pas trop dégrader la bande passante

fonction de transfert en boucle ouverte :

$$G_{reg,PI}(s) = G_{oi}(s) = K_{PI} \cdot \frac{1 + s \cdot \tau_{ii}}{s \cdot \tau_{ii}} \cdot G_{ai}(s)$$

Ajustage traditionnel (compensation du pôle dominant)

$$\tau_{ii} = \tau_{dominant}$$

Problème :

- erreur statique importante (27%)

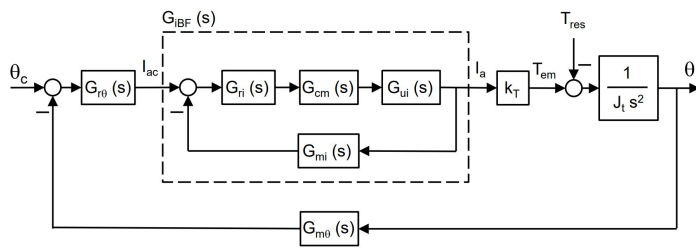
Ajustage sur les petites constantes de temps

$$\tau_{ii} = N \cdot \sum \tau_{pct} = N \cdot (\tau_{cm} + \tau_{mi}), \text{ avec } N \leq 10 [5...30]$$

Avantages :

- Système en boucle fermée avec $K_{pi} = +13dB$
- Erreur statique quasi nulle
- Bande passante quasi inchangée

régulation imbriquée position - courant : Page 1.79 8



Capteur de position

Fonction de transfert (approx.) :

$$G_{m\theta}(s) = \frac{K_{m\theta}}{1 + s \cdot \tau_{m\theta}}$$

$$X_{commande} \cdot N_1 = X_{mesure} \cdot N_2$$

$$K_{m\theta} = N_2/N_1$$

Unité de la consigne de courant

Consigne exprimée en :

- Courant : $U_{ci} = I_c \cdot K'_{mi}$ avec $K'_{mi} \approx K_{mi}$
- Couple : $U_{ci} = T_c \cdot K'_{mi}/k'_T$ avec $k'_T \approx k_T$

Boucle fermée de courant

on peut utiliser la fonction de transfert en boucle fermée obtenue précédemment (calcul « exact »), ou on peut en faire une approximation du 1er ordre, dont la fonction de transfert es :

$$G_{iBF}(s) = \frac{1}{1 + s \cdot \tau_{iBF}}$$

$$G_{iBF}(0) \approx 1$$

$$\tau_{iBF} = 1/\omega_{m\varphi 45^\circ}$$

Système à régler : page 1.85

$$G_{a\theta}(s) = \frac{\theta(s)}{I_{ac}(s)} = \underbrace{\frac{1}{1 + s \cdot \tau_{iBF}}}_{G_{iBF}(s)} \cdot \underbrace{\frac{1}{J_t s^2}}_{Charge} \cdot \underbrace{\frac{K_{m\theta}}{1 + s \cdot \tau_{m\theta}}}_{Capt-pos}$$

$$G_{a\theta}(s) = \underbrace{\frac{K_{m\theta} \cdot k_T}{J_t}}_{K_{a\theta}} \cdot \frac{1}{s^2} \cdot \frac{1}{1 + s \cdot \tau_{iBF}} \cdot \frac{1}{1 + s \cdot \tau_{m\theta}}$$

Régulateur

$$PD = G_{r\theta} = K_{p\theta} \cdot (1 + s \cdot \tau_{d\theta})$$

Ajustage

$$\tau_{ref} = \sum \tau_i \text{ ou } 1/\omega_{ref} \text{ à } -225^\circ \text{ sur } G_{a\theta}(s)$$

$$\tau_{m\theta} = \tau_{ref} - \tau_{iBF}$$

$$\tau_{d\theta} = N \cdot \tau_{ref}$$

Puis ajuster $K_{p\theta}$ 0 dB pour ω correspondant à la marge de phase souhaitée.

limiteur de courant

Il nécessaire d'ajouter un limiteur de courant sur la consigne ce qui rend le système non-linéaire.

Réaction aux couples perturbateurs : page 1.96

$$G_{v\theta}(s) = \frac{1}{J_t \cdot s^2} \cdot \frac{1}{1 + \frac{1}{J_t \cdot s^2} \cdot \frac{K_{m\theta}}{1 + s \cdot \tau_{m\theta}} \cdot K_{p\theta} \cdot (1 + s \cdot \tau_{d\theta}) \cdot G_{iBF} \cdot k_T}$$

Rigidité statique d'asservissement

9

$$K = \lim_{t \rightarrow \infty} \left[\frac{|T_{res}(t)|}{|e_\theta(t)|} \right] = \lim_{s \rightarrow 0} \left[\frac{1}{|G_{v\theta}(s)|} \right]$$

en Statique : $T_{em} = T_{res}$

$$K = \lim_{s \rightarrow 0} [G_{r\theta}(s) \cdot G_{iBF} \cdot k_T]$$

si regulation Position courant :

$$K = \lim_{s \rightarrow 0} \left[K_{p\theta} \cdot (1 + s \cdot \tau_{d\theta}) \cdot \frac{1}{1 + s \cdot \tau_{iBF}} \cdot k_T \right] = K_{p\theta} \cdot k_T$$

si regulation position - vitesse - courant :

Pour 2 regulateur P :

$$K = \lim_{s \rightarrow 0} [G_{r\theta}(s) \cdot G_{r\Omega}(s) \cdot k_T] = K_{p\theta} \cdot K_{p\Omega} \cdot k_T$$

Gibf n'est pas pris en compte car gain statique de 1

Pour 1 des deux regulateur PI :

$$K = \infty$$

Dilemme du choix du coefficient N

Bonne marge de phase : N grand

peu d'erreur statique : N petit

solution : ajouter un filtre de consigne.

$$G_{f\theta} = \frac{1}{1 + s \cdot \tau_{fc\theta}}$$

ne détériore pas la réaction aux couples perturbateurs

Evite d'exciter les hautes fréquences par la consigne mais limite la rapidité de réaction aux sauts de consignes

Effet d'une composante I

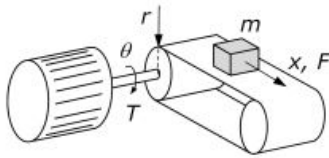
— annulerait l'erreur statique

— convient avec rigidité statique d'asservissement
 $K = \infty$

— provoque un bref écart de position lorsque le couple perturbateur disparaît (overshoots)

— à éviter lorsqu'il s'agit de garantir un suivi de consigne à forte dynamique

1. Courroie ou crémaillère (rayon r) :



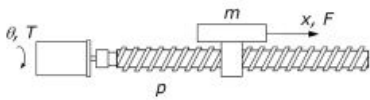
$$T_{res} = F_{res} \cdot r$$

$$e_x = e_\theta \cdot r$$

$$K_x = \frac{|F_{res}|}{|e_x|} = \frac{|T_{res}| \cdot \frac{1}{r}}{|e_\theta| \cdot r} = \frac{1}{r^2} \cdot \frac{|T_{res}|}{|e_\theta|}$$

$$K_x = \frac{1}{r^2} \cdot K_\theta$$

2. Vis à bille (pas p) :



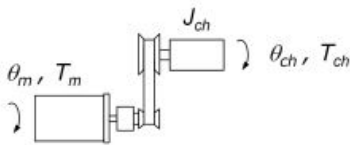
$$T_{res} = F_{res} \cdot \frac{p}{2\pi}$$

$$e_x = e_\theta \cdot \frac{p}{2\pi}$$

$$K_x = \frac{|F_{res}|}{|e_x|} = \frac{|T_{res}| \cdot \frac{2\pi}{p}}{|e_\theta| \cdot \frac{p}{2\pi}} = \left(\frac{2\pi}{p}\right)^2 \cdot \frac{|T_{res}|}{|e_\theta|}$$

$$K_x = \left(\frac{2\pi}{p}\right)^2 \cdot K_\theta$$

3. Réducteur (rapport de réduction i) :



$$T_m = T_{ch} \cdot \frac{1}{i}$$

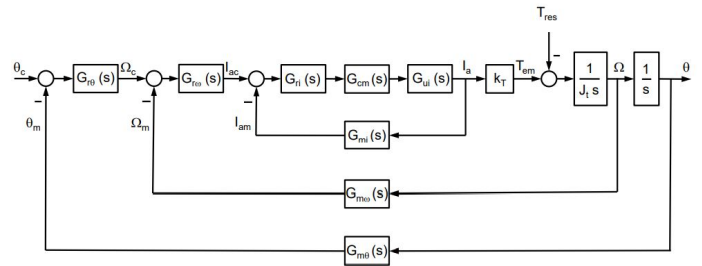
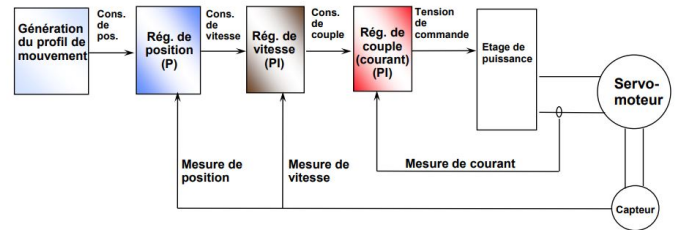
$$e_{\theta_{ch}} = e_{\theta_m} \cdot \frac{1}{i}$$

$$K_{ch} = \frac{|T_{ch}|}{|e_{\theta_{ch}}|} = \frac{|T_m| \cdot i}{|e_{\theta_m}| \cdot \frac{1}{i}} = i^2 \cdot \frac{|T_m|}{|e_{\theta_m}|}$$

$$K_{ch} = i^2 \cdot K_m$$

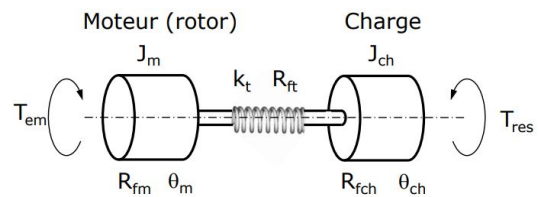
→ régulateur de vitesse, en fonction de la charge mécanique

→ régulateur de position, pour assurer la rigidité parfois exploitant un autre capteur (en aval du réducteur)



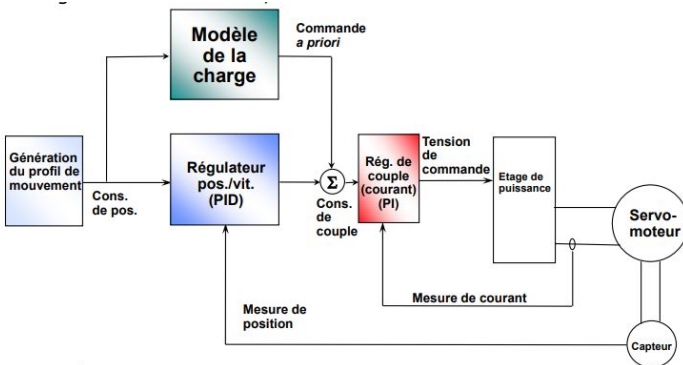
Arbre élastique

12



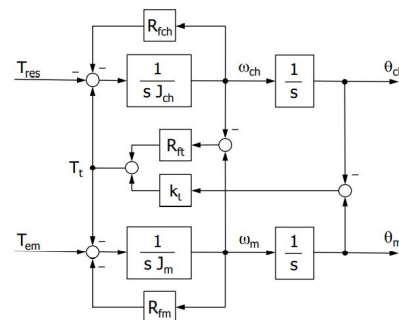
Commande a priori

10



T_{em}, T_{res} : Couple électromagnétique / résistant [Nm]
 J_m, J_{ch} : Moment d'inertie côté moteur / charge [kgm²]
 R_{fm}, R_{fch} : Coef. de frot. visqueux côté moteur / charge [Nm/(rad/s)]
 θ_m, θ_{ch} : Position angulaire du moteur / de la charge [rad]
 k_t : Rigidité de la transmission [Nm/rad]
 R_{ft} : Coef. de frot. visqueux de la transmission [Nm/(rad/s)]

$$\frac{\theta_m(s)}{T_{em}(s)} = \frac{s^2 J_{ch} + s(R_{ft} + R_{fch}) + k_t}{a_4 s^4 + a_3 s^3 + a_2 s^2 + a_1 s}$$



avec :

$$a_4 = J_m \cdot J_{ch}$$

$$a_3 = J_m \cdot (R_{ft} + R_{fch}) + J_{ch} \cdot (R_{ft} + R_{fm})$$

$$a_2 = (J_m + J_{ch}) \cdot k_t + (R_{fch} + R_{fm}) \cdot R_{ft} + R_{fch} \cdot R_{fm}$$

$$a_1 = J_m \cdot j_{ch}$$

$$a_4 = J_m \cdot J_{ch}$$

$$a_3 = (J_m + J_{ch}) \cdot R_{fe}$$

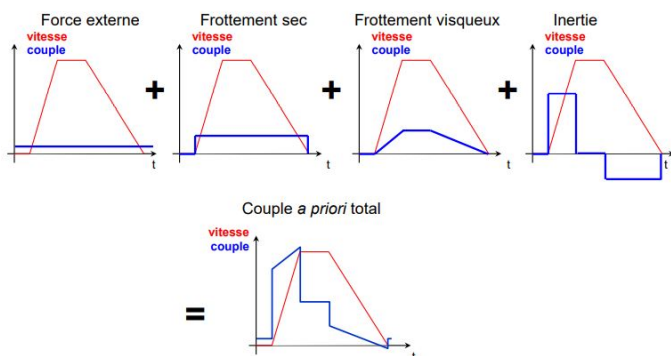
$$a_2 = (J_m + J_{ch}) \cdot k_t$$

$$a_1 = 0$$

avec simplification :

$$R_{fe} = \frac{J_m R_{fch} + J_{ch} R_{fm}}{J_m + J_{ch}} + R_{ft}$$

Connaissance parfaite de la réaction du système



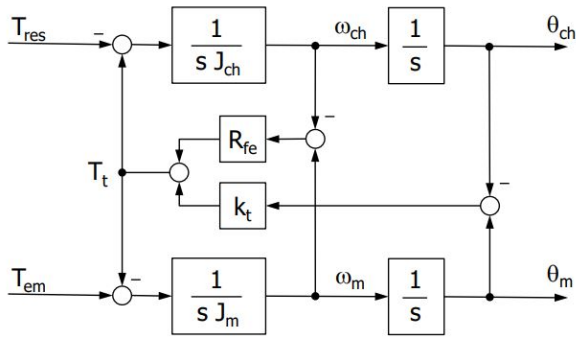
Standard de facto (>95% des cas)

11

Régulateur ajustés séparément :

→ régulateur de courant, en fonction du moteur

Effet de l'arbre élastique en régulation de position

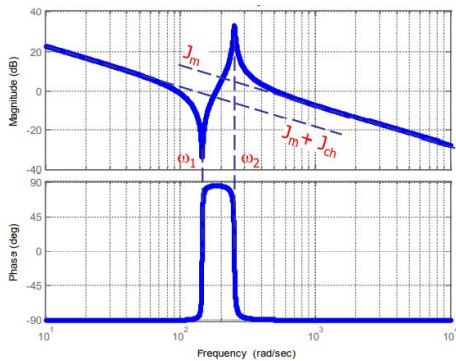


$$\frac{\theta_m(s)}{T_{em}(s)} = \frac{s^2 J_{ch} + s R_{fe} + k_t}{J_m J_{ch} s^4 + R_{fe}(J_m + J_{ch}) s^3 + k_t(J_m + J_{ch}) s^2}$$

$$\frac{\theta_{ch}(s)}{T_{em}(s)} = \frac{s R_{fe} + k_t}{J_m J_{ch} s^4 + R_{fe}(J_m + J_{ch}) s^3 + k_t(J_m + J_{ch}) s^2}$$

$$\frac{\theta_{ch}(s)}{\theta_m(s)} = \frac{s R_{fe} + k_t}{s^2 J_{ch} + s R_{fe} + k_t}$$

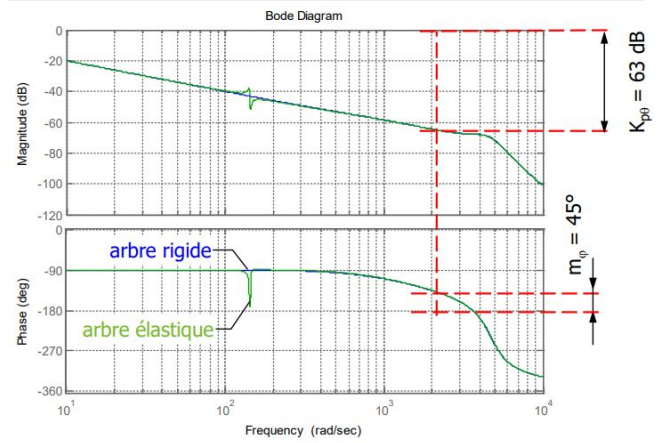
Réponse harmonique : page 1.117



$$\omega_1^2 = \frac{1}{J_{ch}} \cdot k_t$$

$$\omega_2^2 = \left(\frac{1}{J_m} + \frac{1}{J_{ch}} \right) \cdot k_t$$

$$\omega_2^2 - \omega_1^2 = \frac{1}{J_m} \cdot k_t$$

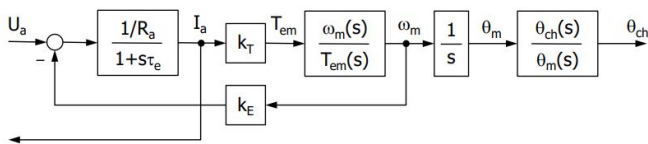


Conversion PVC to PC

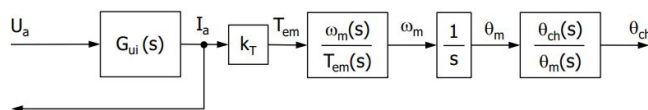
$$K_{p\theta} = K_{p\theta} \cdot K_{p\Omega}$$

$$\tau_{p\theta} = \frac{1}{K_{p\theta}}$$

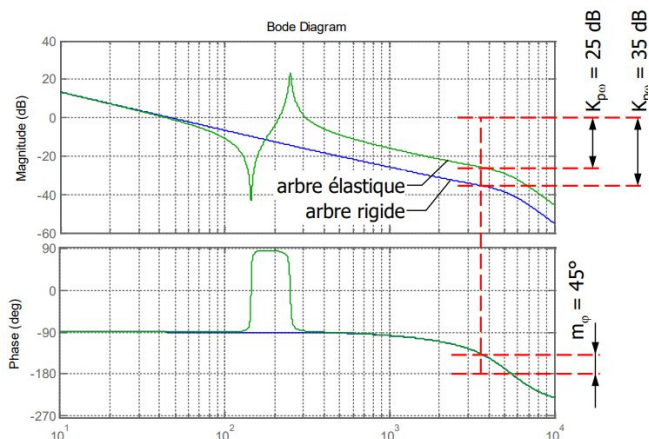
Effet de l'arbre élastique en régulation de courant



- En pratique, on peut négliger l'oscillation de la tension induite lié à l'élasticité de l'arbre
- On conserve ainsi la fonction de transfert du moteur $G_{ui}(s)$



Effet de l'arbre élastique en régulation de vitesse



Rappel :

Équation de tension :

$$u_a(t) = R_a \cdot i_a + L_a \frac{di_a(t)}{dt} + u_{im}(t)$$
$$I_a(s) = [U_a(s) \cdot U_{im}(s)] \cdot \frac{\frac{1}{R_a}}{1 + s \frac{L_a}{R_a}}$$

Équation de mouvement :

$$Jt \frac{d\Omega(t)}{dt} = T_{em}(t) - C_v \Omega(t) - T_{res}(t)$$
$$\Omega(s) = [T_{em}(s) \cdot T_{res}(s)] \cdot \frac{\frac{1}{C_v}}{1 + s \frac{J_t}{C_v}}$$

Équation de couplage :

$$k_T = \frac{T_{em}(t)}{i_a(t)} = \frac{u_{im}(t)}{\Omega(t)} = k_u$$

Équation utile :

$$u_a(t) = U_{in} + R_a \cdot i_a = k_e \Omega + R_a \frac{T_{res}}{k_t}$$

avec

$T_{res} = F_{frot} \cdot V$ par moteur

Constante de temps :

$$\tau_e = \frac{L_a}{R_a}$$
$$\tau_m = \frac{J_t \cdot R_a}{k_T \cdot k_E}$$

Fonctions de transfert :

$$G_{uw} = \frac{\Omega(s)}{U_a(s)} = \frac{1}{k_E} \cdot \frac{1}{1 + s \cdot \tau_m + s^2 \cdot \tau_m \cdot \tau_e}$$

$$G_{ui} = \frac{I_a(s)}{U_a(s)} = \frac{J_t}{k_E \cdot k_T} \cdot \frac{1}{1 + s \cdot \tau_m + s^2 \cdot \tau_m \cdot \tau_e}$$

Pôles :

$$s_{1,2} = \frac{-\tau_m \pm \sqrt{\tau_m^2 - 4 \cdot \tau_m \cdot \tau_e}}{2 \cdot \tau_m \cdot \tau_e}$$

si : $\tau_m \leq 4 \cdot \tau_e$

$$\frac{1}{(1 + s \cdot \tau_{max})(1 + s \cdot \tau_{min})}$$

avec :

$$\tau_{max,min} = -\frac{1}{s_{1,2}}$$

si : $\tau_m \gg \tau_e$

$$\frac{1}{(1 + s \cdot \tau_m)(1 + s \cdot \tau_e)}$$

13 Rappel sur le moment d'inertie

Courroie ou crémaillère : $J_{eq} = m \cdot r^2$

Vis-à-billes : $J_{eq} = m \cdot \left(\frac{p}{2\pi}\right)^2$

Réducteurs : $J_{eq} = J_{ch} \cdot \frac{1}{i^2}$ avec $i = \frac{\Omega_m}{\Omega_e}$

Réglage du courant / couple

$$G_{ai}(s) = K_{ai} \cdot \frac{s}{1 + s \cdot \tau_m + s^2 \cdot \tau_e \cdot \tau_m} \cdot \frac{1}{1 + s \cdot \tau_{cm}} \cdot \frac{1}{1 + s \cdot \tau_{mi}}$$

$$K_{ai} = \frac{K_{cm} \cdot K_{mi} \cdot J_t}{k_t \cdot k_E} = \frac{\tau_m \cdot K_{cm}}{R_a}$$

Capteur de position

$$G_{m\theta}(s) = \frac{K_{m\theta}}{1 + s \cdot \tau_{m\theta}}$$

$$X_{commande} \cdot N_1 = X_{mesure} \cdot N_2$$

$$K_{m\theta} = N_2 / N_1$$

Unité de la consigne de courant

— Courant : $U_{ci} = I_c \cdot K'_{mi}$ avec $K'_{mi} \cong K_{mi}$

— Couple : $U_{ci} = T_c \cdot K'_{mi} / k'_T$ avec $k'_T \cong k_T$

Boucle fermée de courant

$$G_{iBF}(s) = \frac{1}{1 + s \cdot \tau_{iBF}}$$

$$G_{iBF}(0) \cong 1$$

$$\tau_{iBF} = 1 / \omega_{m\varphi 45^\circ}$$

Système à régler

$$G_{a\theta}(s) = \frac{\theta(s)}{I_{ac}(s)} = \underbrace{\frac{1}{1 + s \cdot \tau_{iBF}}}_{G_{iBF}(s)} \cdot k_T \cdot \underbrace{\frac{1}{J_t s^2}}_{Charge} \cdot \underbrace{\frac{1}{1 + s \cdot \tau_{m\theta}}}_{Capt-pos} \cdot K_{m\theta}$$

$$G_{a\theta}(s) = \underbrace{\frac{K_{m\theta} \cdot k_T}{J_t}}_{K_{a\theta}} \cdot \frac{1}{s^2} \cdot \frac{1}{1 + s \cdot \tau_{iBF}} \cdot \frac{1}{1 + s \cdot \tau_{m\theta}}$$

Régulateur

$$PD = G_{r\theta} = K_{p\theta} \cdot (1 + s \cdot \tau_{d\theta})$$

Ajustage

$$\tau_{ref} = \sum \tau_i \text{ ou } 1 / \omega_{ref} \text{ à } -225^\circ$$

$$\tau_{m\theta} = \tau_{ref} - \tau_{iBF}$$

$$\tau_{d\theta} = N \cdot \tau_{ref}$$

Réaction aux couples perturbateurs

$$G_{v\theta}(s) = \frac{1}{Jt \cdot s^2} \cdot \frac{1}{1 + \frac{1}{Jt \cdot s^2} \cdot \frac{K_{m\theta}}{1 + s \cdot \tau_{m\theta}} \cdot K_{p\theta} \cdot (1 + s \cdot \tau_{d\theta}) \cdot G_{iBF \cdot k_T}}$$

Rigidité statique d'asservissement

$$K = \lim_{t \rightarrow \infty} \left[\frac{|T_{res}(t)|}{|e_{\theta}(t)|} \right] = \lim_{s \rightarrow 0} \left[\frac{1}{|G_{\theta}(s)|} \right]$$

en Statique :

$$T_{em} = T_{res}$$

$$K = \lim_{s \rightarrow 0} [G_{r\theta}(s) \cdot G_{iBF} \cdot k_T]$$

si regulateur PD :

$$K = \lim_{s \rightarrow 0} \left[K_{p\theta} \cdot (1 + s \cdot \tau_{d\theta}) \cdot \frac{1}{1 + s \cdot \tau_{iBF}} \cdot k_T \right] = K_{p\theta \cdot k_T}$$

$$G_f \theta = \frac{1}{1 + s \cdot \tau_{fc\theta}}$$

Kx Rigidité

$$\text{Courroie ou crémaillère : } K_x = \frac{K_{\theta}}{r^2}$$

$$\text{Vis-à-billes : } K_x = \left(\frac{2\pi}{p} \right)^2 \cdot K_{\theta}$$

$$\text{Réducteurs : } K_x = K_m \cdot i^2$$

Arbre élastique

$$\frac{\theta_m(s)}{T_{em}(s)} = \frac{s^2 J_{ch} + s(R_{ft} + R_{fch}) + k_t}{a_4 s^4 + a_3 s^3 + a_2 s^2 + a_1 s}$$

$$a_4 = J_m \cdot J_{ch}$$

$$\text{avec simplification : } a_3 = (J_m + J_{ch}) \cdot R_{fe}$$

$$a_2 = (J_m + J_{ch}) \cdot k_t$$

$$a_1 = 0$$

$$R_{fe} = \frac{J_m R_{fch} + J_{ch} R_{fm}}{J_m + J_{ch}} + R_{ft}$$

$$\frac{\theta_m(s)}{T_{em}(s)} = \frac{s^2 J_{ch} + s R_{fe} + k_t}{J_m J_{ch} s^4 + R_{fe}(J_m + J_{ch}) s^3 + k_t(J_m + J_{ch}) s^2}$$

$$\frac{\theta_{ch}(s)}{T_{em}(s)} = \frac{s R_{fe} + k_t}{J_m J_{ch} s^4 + R_{fe}(J_m + J_{ch}) s^3 + k_t(J_m + J_{ch}) s^2}$$

$$\frac{\theta_{ch}(s)}{\theta_m(s)} = \frac{s R_{fe} + k_t}{s^2 J_{ch} + s R_{fe} + k_t}$$

Conversion PVC to PC

$$K_{p\theta} = K_{p\theta} \cdot K_{p\Omega}$$

$$\tau_{p\theta} = \frac{1}{K_{p\theta}}$$

Formule Sympa

$$P_{moyen} = \frac{nb_{freinage} \cdot Energie_{cynétique}}{T_{cycle}} = \frac{\frac{1}{2} J_t \cdot \omega^2}{T_{cycle}}$$

$$P = T_{em} \cdot \omega$$

$$T_{em} = J_t \cdot \alpha$$

$$\alpha_{rms}|_{t_{cycle}} = \alpha_{rms}|_{profil} \cdot \sqrt{\frac{t_{deplacement}}{t_{cycle}}}$$